

## СФЕРИЧЕСКОЕ ИСТЕЧЕНИЕ ВЯЗКОГО ТЕПЛОПРОВОДНОГО ГАЗА В ЗАТОПЛЕННОЕ ПРОСТРАНСТВО

А. К. Ребров, С. Ф. Чекмарев

(Новосибирск)

Численно на основе уравнений Навье — Стокса исследуется сферическое истечение газа в пространство с ненулевым давлением. Решение краевой задачи проводится методом установления. Метод позволяет проанализировать влияние числа Рейнольдса, отношения давлений на звуковой сфере и в окружающем пространстве, а также температуры в окружающем пространстве на распределение параметров в области течения. Показывается, в частности, что для постоянного числа Рейнольдса и различных отношений давления линия расширения вязкого теплопроводного газа в вакуум будет огибающей для распределений параметров в сверхзвуковой области. Результаты расчета сравниваются с данными других авторов.

Влияние вязкости и теплопроводности на сферическое истечение газа в затопленное пространство рассматривалось в ряде теоретических работ. В большинстве из них для изучения уравнений Навье — Стокса использовался метод малого параметра [1, 2]. Метод позволяет провести качественные, а в некоторых случаях и количественные рассмотрения для больших чисел Рейнольдса  $R_*$ .

Вопросы истечения вязкого теплопроводного газа в вакуум рассматривались М. Д. Ладыженским [3].

По-видимому, впервые в достаточно полном виде решение задачи было получено В. Н. Гусевым и А. В. Жбаковой [4]. Идея использованного авторами метода состоит в замене возникающей краевой задачи задачей Коши. Для нахождения начальных условий использовалось разложение в окрестности бесконечно удаленной точки  $r = \infty$ , и последующее интегрирование проводилось вверх по потоку.

Метод, очевидно, не имеет существенных ограничений на величины числа  $R_*$  и отношения давления  $p_*/p_\infty$ . Однако каждое конкретное в смысле коэффициентов разложение устанавливает определенную связь между  $R_*$  и  $p_*/p_\infty$ , и расчет, например, для неизменного числа  $R_*$  и различных  $p_*/p_\infty$  потребует различных разложений, причем подбор коэффициентов для каждого  $p_*/p_\infty$  не очевиден. Последнее вносит затруднение в анализ влияния числа Рейнольдса и отношения давлений на структуру течения.

В данной работе предлагается иной подход: при переходе к термодинамическим переменным указанной особенности при  $r \rightarrow \infty$  не возникает и краевая задача может быть решена стандартным методом, в частности методом установления. Анализ картины течения при таком подходе значительно упрощается.

Как и в большинстве предыдущих работ, рассмотрения проводятся для случая, когда давление торможения истекающего газа много больше давления в окружающем пространстве. Случай этот представляется наиболее интересным как в теоретическом, так и в практическом отношении [2, 4].

Сферическое расширение газа при большом отношении давлений может быть реализовано и на практике [5], однако имеющейся экспериментальной информации пока недостаточно, чтобы провести сравнение результатов теории и эксперимента.

*Постановка задачи.* Сферическое течение вязкого теплопроводного газа описывается системой уравнений

$$\rho u \frac{du}{dr} + \frac{1}{M_*^2} \frac{dp}{dr} = \frac{1}{R_*} \left\{ \frac{4}{3} \frac{d}{dr} \left[ \frac{\mu}{r^2} \frac{d}{dr} (r^2 u) \right] - \frac{4u}{r} \frac{d\mu}{dr} \right\} \quad (1)$$

$$\rho u \frac{dT}{dr} - (\gamma - 1) u \frac{dp}{dr} = \quad (2)$$

$$= \frac{1}{R_*} \left\{ \frac{1}{\sigma} \frac{1}{r^2} \frac{d}{dr} \left( \mu r^2 \frac{dT}{dr} \right) - \frac{4}{3} (\gamma - 1) \mu M_*^2 \left[ \frac{d}{dr} \left( \frac{u^2}{r} \right) - \left( \frac{du}{dr} \right)^2 \right] \right\}$$

$$\rho u r^2 = 1, \quad p = \frac{1}{\gamma} \rho T \quad (3)$$

Здесь  $\sigma$  — число Прандтля,  $\mu = \mu(T)$  — некоторая зависимость вязкости от температуры. Параметры течения в (1) — (3) являются безразмерными

$$r = \frac{r'}{r_*'}, \quad u = \frac{u'}{u_*'}, \quad T = \frac{T'}{T_*'}, \quad \rho = \frac{\rho'}{\rho_*'}, \quad p = \frac{p'}{\rho_*' u_*'^2} \quad (4)$$

$$\mu = \frac{\mu'}{\mu_*'}, \quad R_* = \frac{\rho_*' u_*' r_*'}{\mu_*'}, \quad M_* = \frac{u_*'}{\sqrt{\gamma' R_*' T_*'}}, \quad \sigma = \frac{\mu_*' c_{p'}}{k_*'}$$

Число Прандтля  $\sigma$  и отношение теплоемкостей  $\gamma$  предполагаются постоянными.

Пусть газ истекает в пространство с ненулевым давлением и конечной температурой. В этом случае всегда имеется поверхность с некоторым  $r=r_1$ , за которой течение газа будет существенно дозвуковым,  $M_1^2 \ll 1$ . Из рассмотрения уравнения переноса тепла (2) для  $r > r_1$  следует, что для сферического истечения условие ограниченности температуры газа при  $r \rightarrow \infty$ ,  $dT/dr = 0$  не является достаточным и температура на бесконечности должна быть задана. Следовательно, на бесконечности, т. е. в окружающем пространстве могут быть заданы произвольными значениями двух термодинамических параметров.

На поверхности источника также могут быть заданы параметры состояния газа. При этом задание  $R_*$  и  $M_*$  определит величину расхода и  $r_*$ .

Использование краевого условия по скорости неудобно, так как точка  $u(\infty)$  является особой [2].

Запишем граничные условия в виде

$$\rho = 1, T = 1 \text{ при } r = 1, \rho \rightarrow \rho_\infty, T \rightarrow T_\infty \text{ при } r \rightarrow \infty \quad (5)$$

*Метод решения.* Исключая из (1) — (3) скорость и давление и вводя преобразования типа  $r = 1 + \alpha \operatorname{tg} (1/2 \operatorname{arctg} \rho)$ , запишем систему в форме, удобной для последующей линеаризации

$$A_1 \frac{d^2 \rho}{dy^2} + B_1 \frac{d\rho}{dy} + C_1 \rho = D_1 \quad (6)$$

$$A_2 \frac{d^2 T}{dy^2} + B_2 \frac{dT}{dy} + C_2 T = D_2 \quad (7)$$

$$\rho = 1, T = 1 \text{ при } y = 0, \rho = \rho_\infty, T = T_\infty \text{ при } y = 1$$

Здесь  $\alpha$  — некоторая константа, а  $A_k, B_k, C_k, D_k$  — выражения, остающиеся после выделения линейной части и зависящие в общем случае от  $y, \rho, T, d\rho/dy, dT/dy$  и  $R_*, \sigma, M_*, \gamma, \alpha$ .

Решение задачи (6) — (7) проводилось методом установления с использованием невязной схемы. Сетка по пространству  $y$  выбиралась равномерной с числом разбиений  $N$  и шагом  $h$ .

Линеаризованная система

$$\begin{aligned} \rho_i^j \left( \frac{\partial \rho}{\partial t} \right)_i^{j+1} + A_{1i}^j \left( \frac{\partial^2 \rho}{\partial y^2} \right)_i^{j+1} + B_{1i}^j \left( \frac{\partial \rho}{\partial y} \right)_i^{j+1} + C_{1i}^j \rho_i^{j+1} &= D_{1i}^j \\ \rho_i^j \left( \frac{\partial T}{\partial t} \right)_i^{j+1} + A_{2i}^j \left( \frac{\partial^2 T}{\partial y^2} \right)_i^{j+1} + B_{2i}^j \left( \frac{\partial T}{\partial y} \right)_i^{j+1} + C_{2i}^j T_i^{j+1} &= D_{2i}^j \\ \rho_0^j &= 1, \quad \rho_N^j = \rho_\infty, \quad T_0^j = 1, \quad T_N^j = T_\infty \end{aligned}$$

где

$$\left( \frac{\partial f}{\partial t} \right)_i^{j+1} = \frac{f_{i+1}^{j+1} - f_i^j}{\tau}, \quad \left( \frac{\partial^2 f}{\partial y^2} \right)_i^{j+1} = \frac{f_{i+1}^{j+1} - 2f_i^{j+1} + f_{i-1}^{j+1}}{h^2}, \quad \left( \frac{\partial f}{\partial y} \right)_i^{j+1} = \frac{f_{i+1}^{j+1} - f_{i-1}^{j+1}}{2h}$$

на каждой  $j + 1$  итерации решалась методом прогонки [6, 7]. Величина итерационного параметра  $\tau$  в процессе установления не менялась.

Начальное приближение  $\rho_i^0 = \Phi_1(i), T_i^0 = \Phi_2(i)$ , как правило, выбиралось следующим образом: плотность для  $0 \leq i \leq i_0$  вычислялась по изэнтропическим формулам и для  $i_0 < i \leq N$  полагалась равной  $\rho_\infty$  ( $i_0$  — максимальный номер точки, где плотность, соответствующая изэнтропическому расширению, не меньше  $\rho_\infty$ )

$$T_i^0 = T_\infty - (\gamma - 1) / 2 (\gamma^0 r_i^2)^2$$

для

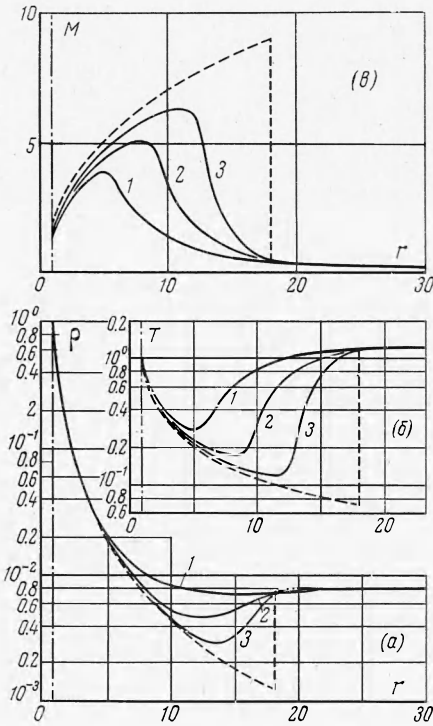
$$0 \leq i \leq N$$

Счет прекращался при достижении

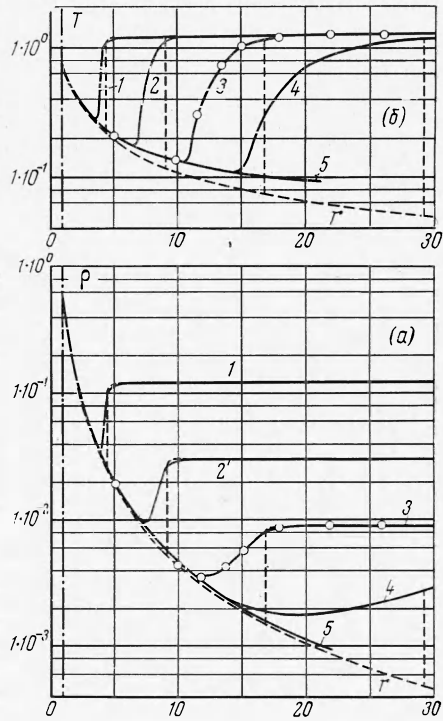
$$\max_i \left[ \left| \left( \frac{\partial \ln \rho}{\partial t} \right)_i^{j+1} \right|, \left| \left( \frac{\partial \ln T}{\partial t} \right)_i^{j+1} \right| \right] \leq \varepsilon_0$$

Величины  $\tau, h, \varepsilon_0$  подбирались путем контрольных просчетов. Например, при  $\bar{M}_* = 100$  и  $p_*/p_\infty = 92.7$  было получено  $h = 2 \cdot 10^{-3}, \varepsilon_0 = 2 \cdot 10^{-3}, \tau = 5 \cdot 10^{-2}$  и процесс устанавливался за 500 итераций.

**Обсуждение результатов.** При сферическом истечении идеального газа в пространство с ненулевым давлением  $p_\infty < p_{0*}$  реализуется следующая характерная структура: газ, изэнтропически расширяясь с некоторой звуковой или сверхзвуковой поверхности, перерастягивается до давления, меньшего  $p_\infty$ . Затем происходит торможение газа в ударной волне, сопровождающееся восстановлением давления, и дальнейшее, уже изэнтропическое, торможение до параметров затопленного пространства. Положение ударной волны определяется отношением  $p_{0*}/p_\infty$ . Заметим, что идеальное решение может быть построено лишь в случае  $T_\infty = T_{0*}$ .



Фиг. 1



Фиг. 2

На фиг. 1—3 представлены типичные результаты расчетов, иллюстрирующие истечение вязкого теплопроводного газа со звуковой поверхности,  $M_* = 1$ . В качестве зависимости вязкости от температуры использовалась формула Сазерленда

$$\mu = T^{1.2} \frac{1 + T_s}{T + T_s}$$

Расчеты проводились для воздуха ( $\gamma = 1.4$ ,  $T'_s = 104^\circ \text{K}$ ) с температурой торможения на звуковой сфере  $T_{0*}' = 293^\circ \text{K}$ .

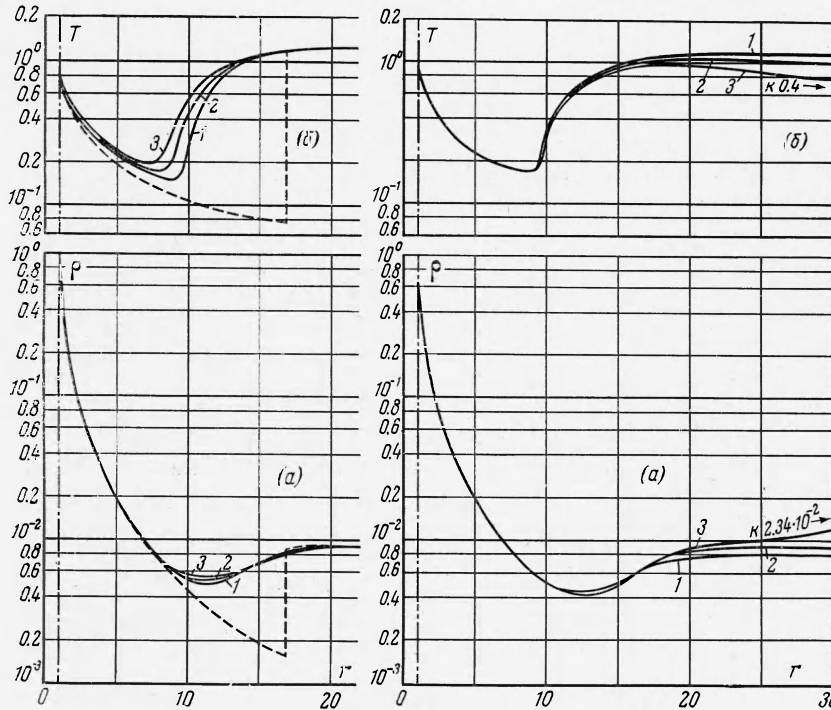
Распределение параметров потока  $p$ ,  $T$ ,  $M$  для  $p_*/p_\infty = 109$ ,  $T_\infty/T_* = 1.2$ ,  $\sigma = 0.7$  приведено на фиг. 1 (кривые 1, 2, 3 соответствуют значениям  $R_* = 50, 100, 200$ ; штриховая кривая — решение для идеального газа). Кроме очевидных закономерностей следует отметить, что кривые плотности пересекаются в малой окрестности точки, соответствующей значению плотности за ударной волной при идеальном рассмотрении.

Отход полученных распределений параметров потока от изэнтропических начинается практически от звуковой поверхности.

Расчеты, проведенные для постоянных чисел  $R_*$  и различных значений  $p_*/p_\infty$  (в частности, для значений  $R_* = 161.83$ ,  $T_\infty/T_* = 1.2$  и  $\sigma = 0.7$  приведены на фиг. 2, где кривые 1, 2, 3, 4 соответствуют значениям  $p_*/p_\infty = 6.94, 27.8, 92.7, 278$ ), показывают, что величина отхода в значительной части сверхзвуковой области не связана с положением ударной волны и определяется только числом  $R_*$ , т. е. собственное влияние ударной волны на течение вверх по потоку локализовано (на фиг. 2 штриховые кривые — решение для идеального газа, кружочки — результаты работы [4]).

Отнесем расстояние от идеального положения ударной волны до точки с минимумом температуры к длине свободного пробега в последней. На исследованных режимах это отношение было порядка  $6 \div 9$  и имело тенденцию к повышению с возрастанием числа  $M$  «перед» ударной волной. Отношение в известной мере может служить характеристикой толщины ударной волны в длинах свободного «набегающего потока».

Очевидно, что влияние ударной волны вверх по потоку определяется еще и величиной числа  $\sigma$ . Это можно видеть по данным фиг. 3, где кривые 1, 2, 3 соответствуют течениям  $\sigma = 1.0, 0.7, 0.5$ . Вычисления проведены для  $R_* = 100, T_\infty/T_* = 1.2, p_* / p_\infty = 92.7$ .



Фиг. 3

Фиг. 4

Таким образом, при постоянном  $\sigma$  распределение параметров в области, прилегающей к звуковой сфере и ограниченной для каждого  $p_* / p_\infty$  началом влияния ударной волны, определяется только числом  $R_*$  и не зависит от величины давления в окружающем пространстве. Результаты, представленные на фиг. 4 (где кривые 1, 2, 3 соответствуют значениям  $T_\infty / T_* = 1.2, 1.0, 0.4$ , а расчеты проведены при значениях  $R_* = 100, p_* / p_\infty = 109, \sigma = 0.7$ ), показывают, что и влияние температуры в окружающем пространстве не распространяется на эту область. Можно предполагать, что ситуация сохранится при  $p_\infty \rightarrow 0$  ( $p_* / p_\infty \rightarrow \infty$  для  $R_* = \text{const}$ ). Тогда огибающие распределений параметров (кривые 5 на фиг. 2) будут соответствовать начальному участку расширения вязкого теплопроводного газа в вакуум.

Замечание относительно температуры, вообще говоря, существенно, потому что при истечении в вакуум можно задать при  $r \rightarrow \infty$  только отсутствие обмена импульсом и потока тепла в окружающее пространство за счет теплового взаимодействия молекул и  $T_\infty$  может оказаться не равной  $T_{0*}$ . Действительно, из анализа работы [3] следует, что при сферическом истечении в вакуум при  $r \rightarrow \infty$  и  $u \rightarrow 0$ , следовательно,  $T_{0\infty} \rightarrow T_\infty$ . При конечных числах  $R_*$  температура торможения в области течения не сохраняется и  $T_{0\infty}$  может отличаться от  $T_{0*}$ ; последнее хорошо видно на примере цилиндрического источника [8].

Расчеты для  $R_* = 161.83$ , например, проводились до  $p_* / p_\infty \sim 10^8$ , практически это соответствует истечению в глубокий вакуум.

Положение огибающих (назовем их кривыми вязкого расширения в вакуум) определяется условиями на звуковой сфере и величинами чисел  $R_*$  и  $\sigma$ . Зависимость от числа  $\sigma$ , как это видно на фиг. 3, проявляется довольно слабо.

Аналогичные кривые были получены ранее в работе [2]. Однако независимость распределений в области до ударной волны от условий окружающего пространства не следовала из анализа, а постулировалась, чтобы иметь возможность построить решение во всей области течения.

При распространении уравнений Навье — Стокса на случай истечения газа в вакуум, практически в пространство с очень низким давлением, естественно, возникает вопрос о правомерности их использования. Вопрос этот подробно обсуждался в [3].

Авторы благодарят М. А. Гольдштика и Б. Г. Кузнецова за полезные обсуждения.

Поступила 2 III 1970

#### ЛИТЕРАТУРА

1. Sakurai A. Three-dimensional steady radial flow of viscous, heat-conducting compressible fluid. Quart. J. Mech. and Appl. Math., 1958, vol. 11, No. 3.
2. Sherman F. S. A source-flow model of viscous effects in hypersonic axisymmetric free jets. Arch. Mech. Stosowanej, 1964, vol. 16, No. 2.
3. Ладженский М. Д. Об истечении вязкого газа в пустоту. ПММ, 1962, т. 26, вып. 4.
4. Gusev V. N., Zhbakova A. V. The flow of a viscous heat-conducting compressible fluid into a constant pressure medium. Rarefied Gas Dynamics, New York — London, Acad. Press., 1969, vol. 1.
5. Бочкарев А. А., Ребров А. К., Чекмарев С. Ф. О гиперзвуковом сферическом расширении газа со стационарной ударной волной. ПМТФ, 1969, № 5.
6. Яненко Н. Н., Неуважаев В. Е. Один метод расчета газодинамических движений с нелинейной теплопроводностью. Тр. Матем. ин-та АН СССР, 1966, т. 74, ч. 1.
7. Самарский А. А., Волосевич П. П., Волчинская М. И., Курдюмов С. П. Метод конечных разностей для решения одномерных нестационарных задач магнитной гидродинамики. Ж. вычислит. матем. и матем. физ., 1968, т. 8, № 5.
8. Leveu H. C. Two dimensional source flow of viscous fluid. Quart. Appl. Math., 1954, vol. 7, No. 1.

#### ИССЛЕДОВАНИЕ ТУРБУЛЕНТНОГО ПОГРАНИЧНОГО СЛОЯ НА ГЛАДКИХ И ШЕРОХОВАТЫХ ПОВЕРХНОСТЯХ ПРИ ПРОИЗВОЛЬНЫХ ГРАДИЕНТАХ ДАВЛЕНИЯ

*А. Г. Марченко*

(Киев)

Излагаются результаты экспериментального исследования установившегося плоского турбулентного пограничного слоя в несжимаемой жидкости на непроницаемой стенке. Рассматриваются случаи течения у гладкой и шероховатой поверхности при наличии продольного градиента давления. Приведены результаты измерения турбулентной структуры течения на различных расстояниях от входа в канал. Дан подробный анализ кинематических и динамических характеристик потока. Особое внимание уделено пристеночной области течения. Предложен универсальный закон изменения местного коэффициента сопротивления вдоль пограничного слоя.

Обозначения:  $U$ ,  $V$  — продольная и поперечная составляющие осредненной скорости;  $u$ ,  $v$  — компоненты пульсаций скорости;  $P$  — осредненная величина давления;  $\tau$  — касательное напряжение;  $u_*$  — динамическая скорость;  $C_f$  — местный коэффициент поверхностного трения;  $\rho$  — плотность;  $\nu$  — кинематическая молекулярная вязкость;  $\varepsilon$  — эффективная вязкость;  $\delta$  — толщина пристенного подслоя;  $s$  — толщина области действия закона стенки;  $h$  — толщина пограничного слоя;  $x$ ,  $y$  — координаты пространства;  $T$  — время осреднения скорости при фотосъемке.

Индексы означают условия: 0 — на стенке,  $\delta$  — на внешней границе пристенного подслоя,  $s$  — на границе области действия закона стенки,  $\infty$  — на внешней границе пограничного слоя.

1. Экспериментальная установка. Эксперимент выполнен на гидродинамическом стенде периодического действия с вертикальным расположением рабочей части (фиг. 1).